



全球变化热门话题丛书

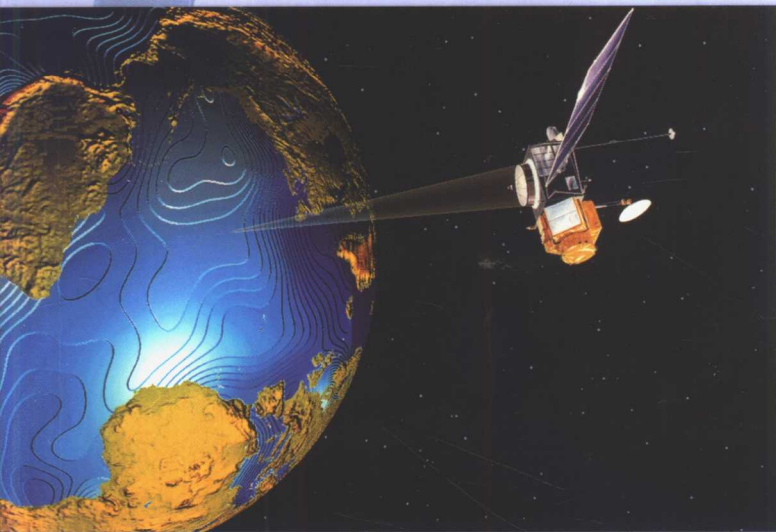
主编 秦大河

# 对地观测卫星 在全球变化中的应用



GLOBAL CHANGE

方宗义 刘玉洁 朱小祥 编著



气象出版社



全球变化热门话题丛书

主编 秦大河

副主编 丁一汇 毛耀顺

# 对地观测卫星 在全球变化中的应用

Duidi Guance Weixing  
zai Quanqiu Bianhua zhong de Yingyong

方宗义 刘玉洁 朱小祥 编著

气象出版社

### 图书在版编目(CIP)数据

对地观测卫星在全球变化中的应用/方宗义等编著.  
北京:气象出版社,2003.3

(全球变化热门话题/秦大河主编)

ISBN 7-5029-3554-1

I. 对... II. 方... III. 遥感地面调查—应用—  
全球环境—环境监测 IV. X83

中国版本图书馆 CIP 数据核字(2003)第 016925 号

气象出版社出版

(北京海淀中关村南大街 46 号 邮政编码:100081)

责任编辑:俞卫平 李太宇 终审:周诗健

封面设计:新视窗工作室 责任技编:都 平 责任校对:吴庭芳

\*

北京京科印刷有限公司印刷

气象出版社发行 全国各地新华书店经销

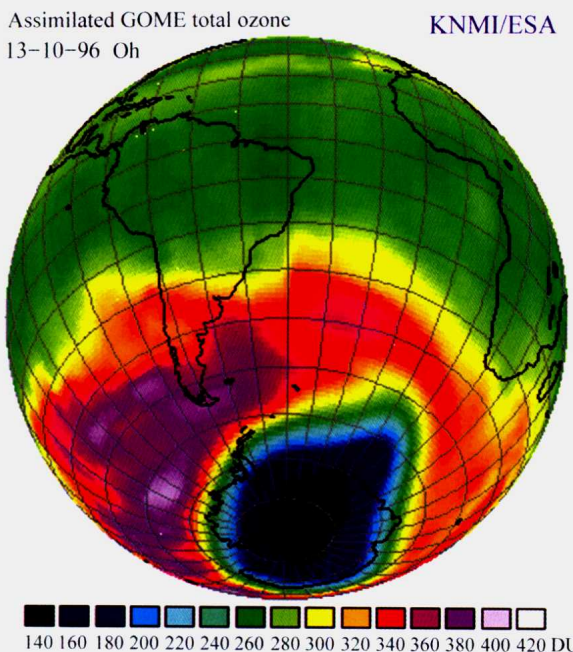
\*

开本:889×1194 1/32 插页:6 印张:5.25 字数:137 千字

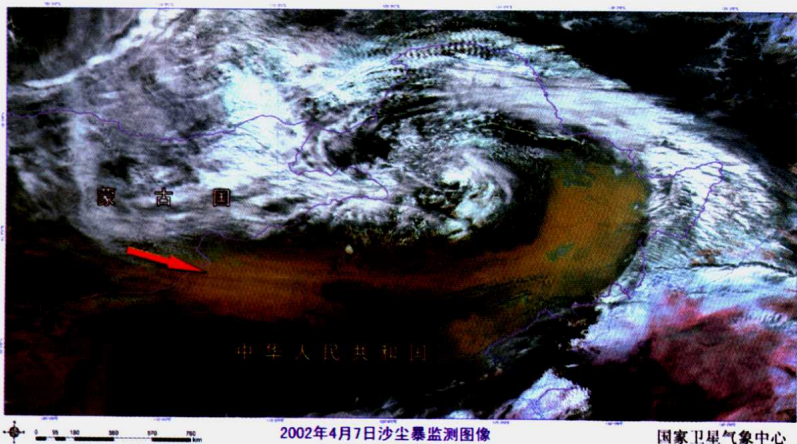
2003 年 3 月第一版 2003 年 3 月第一次印刷

印数:1~5000 定价:18.00 元

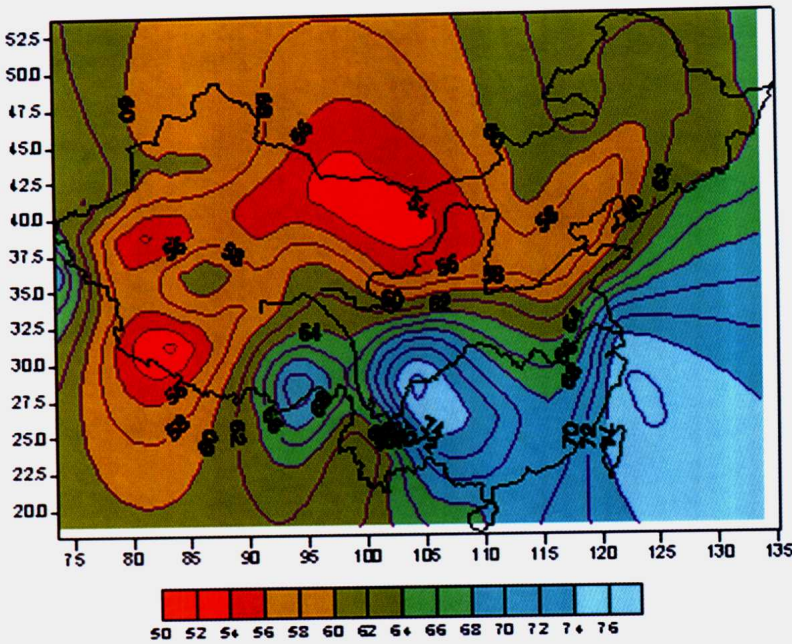
## 10月南半球臭氧总含量



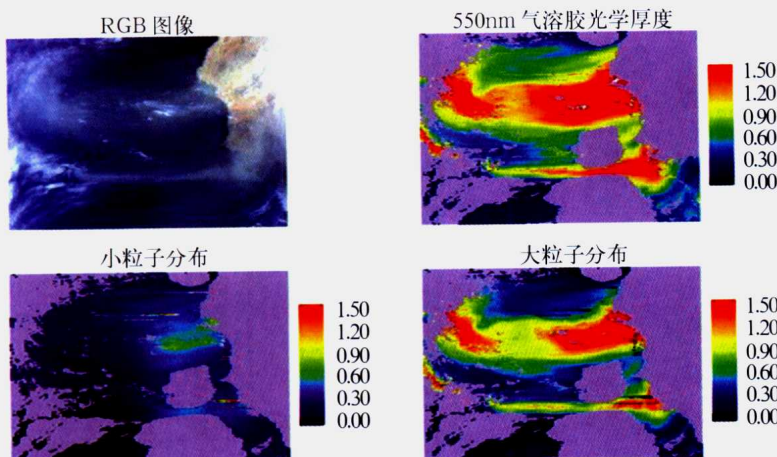
彩图1 雨云卫星观测得到的南极臭氧洞(1996年10月)  
(引自 Paul Menzel)



彩图2 沙尘暴的卫星遥感监测图

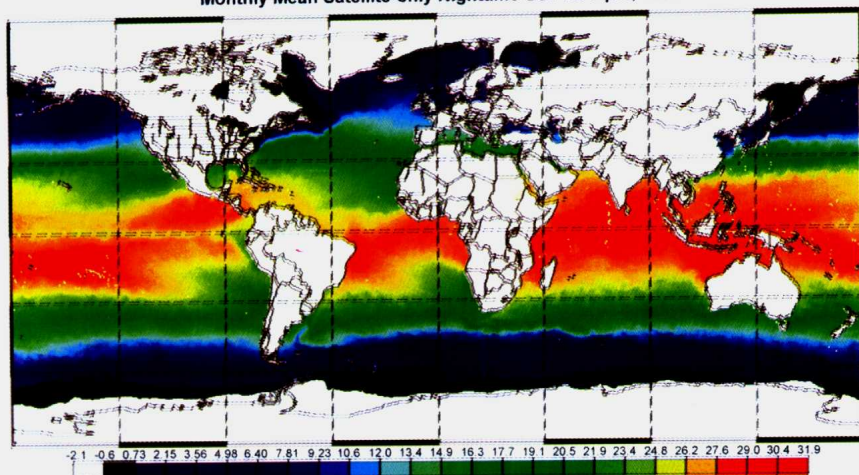


彩图3 中国总云量空间分布形势

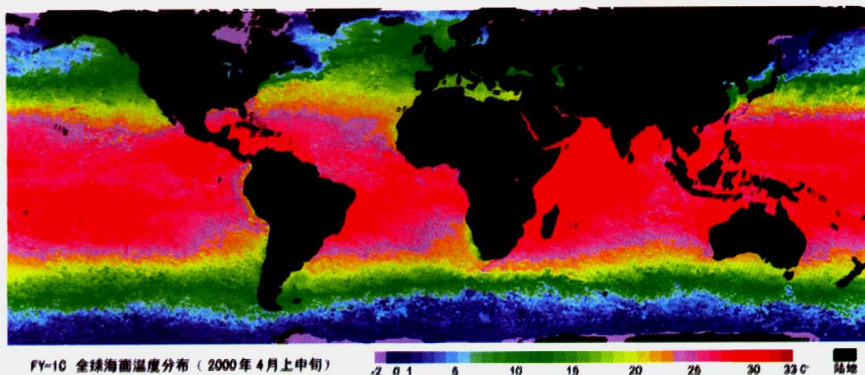


彩图4 Terra卫星MODIS遥感探测器得到的大西洋上空的气溶胶光学厚度(2000年2月29日)

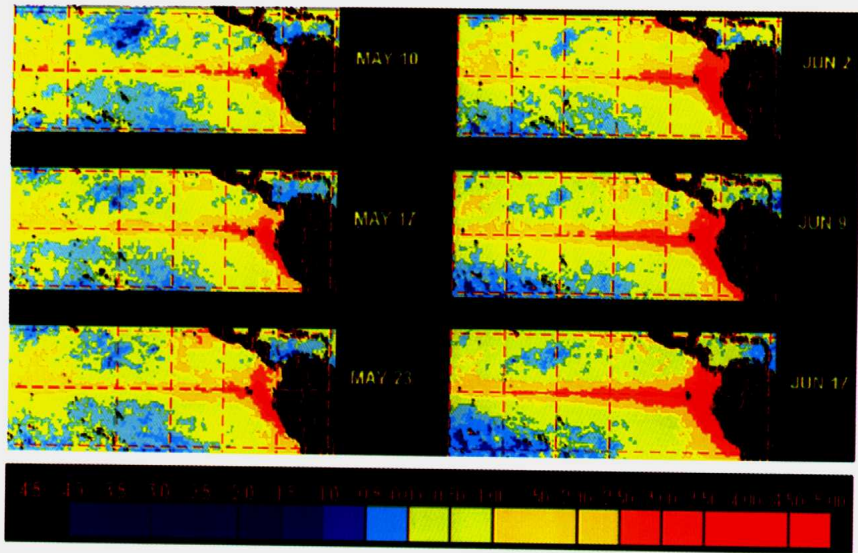
Monthly Mean Satellite-only Nighttime SST for April, 1984



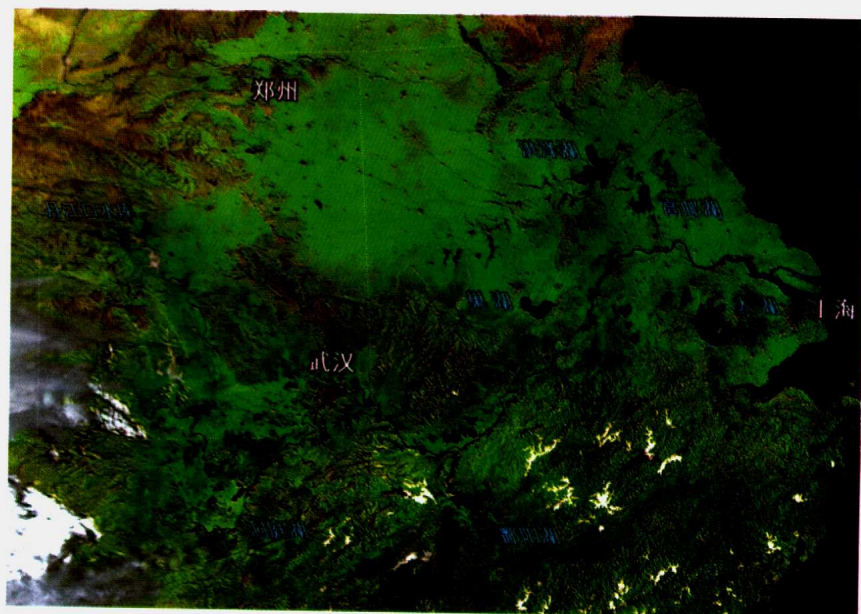
彩图5 美国 NESDIS/NOAA 计算的1984年4月全球海面温度图



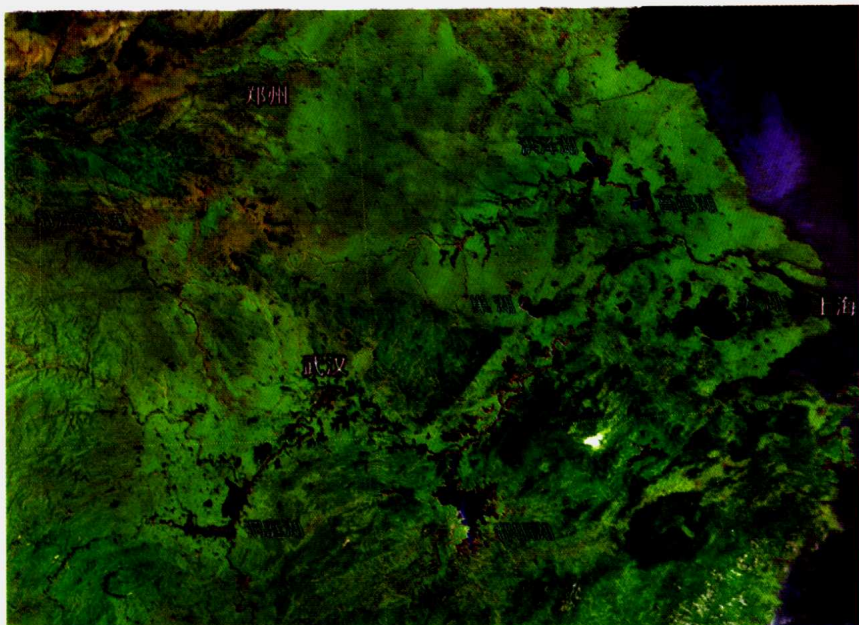
彩图6 利用FY-1C卫星数据计算的全球月平均海面温度产品



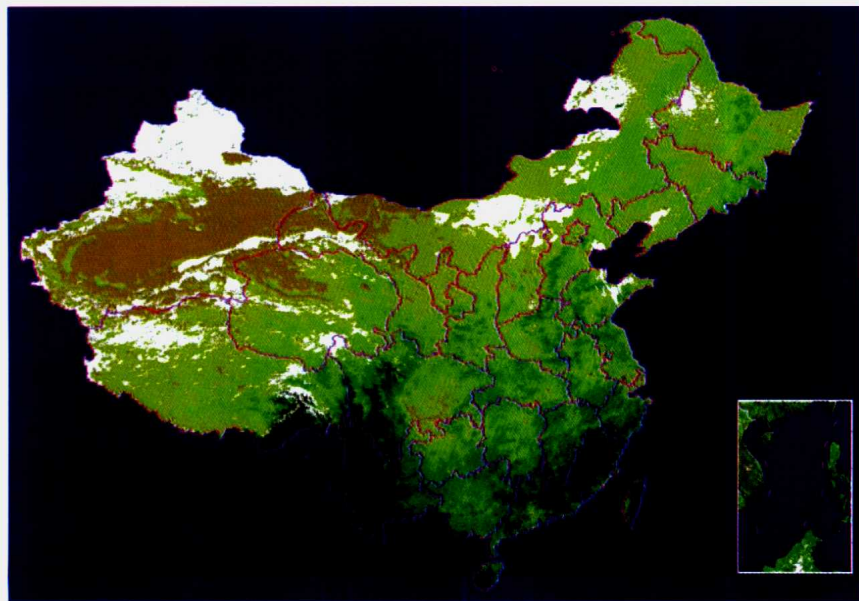
彩图 7 1985 年部分卫星遥感全球海面温度图



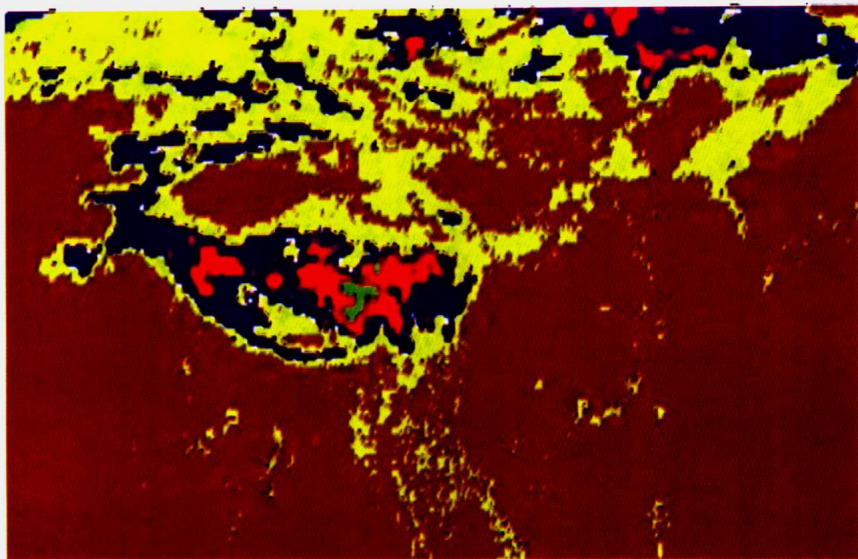
彩图 8 FY-1C 的长江流域(洞庭湖、鄱阳湖区域)枯水期水体分布图



彩图9 FY-1D的长江流域(洞庭湖、鄱阳湖区域)丰水期水体分布图

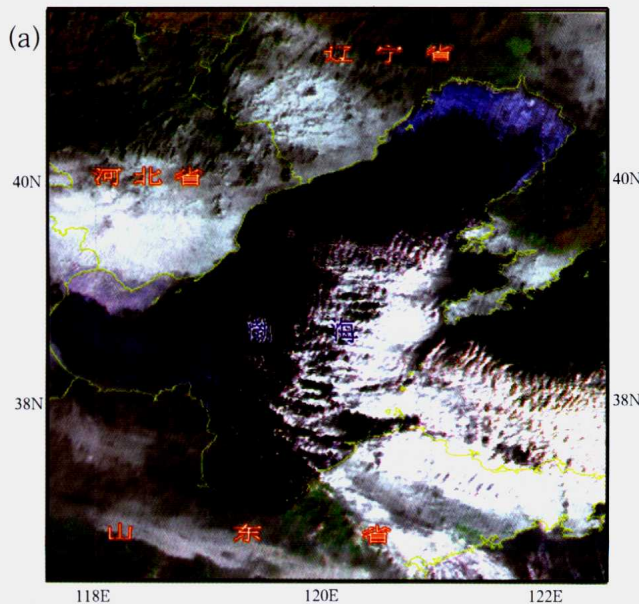


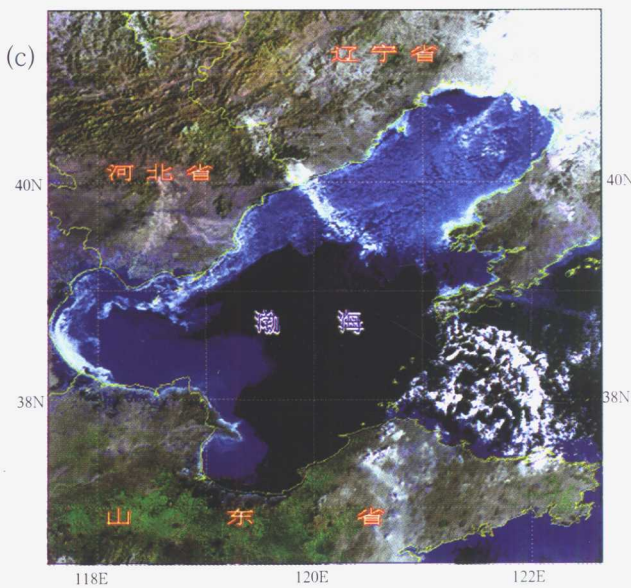
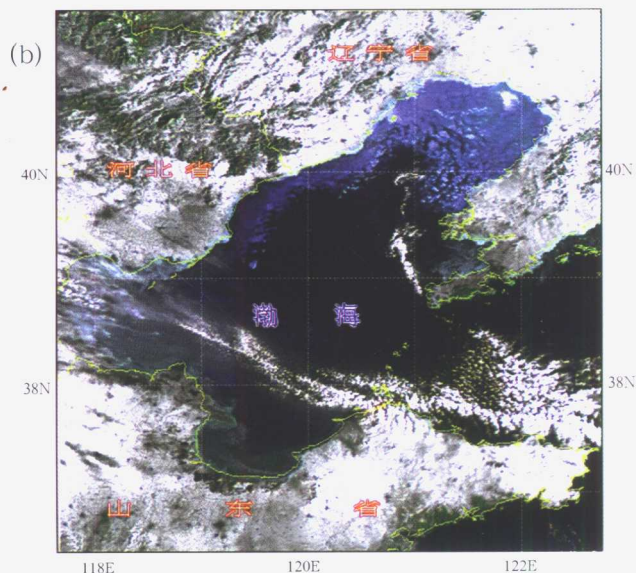
彩图10 人机交互获取的中国地区积雪分布图



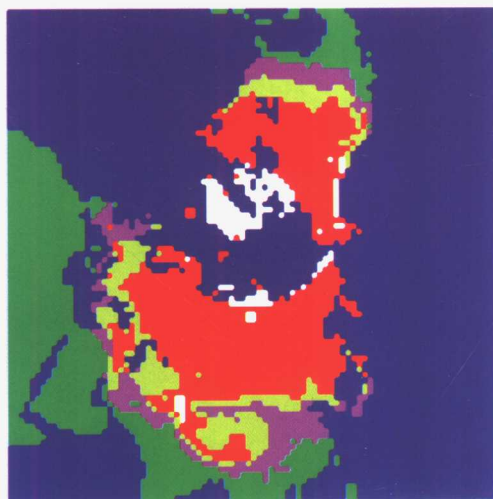
彩图 11 利用 SSM/I 资料计算的 1997 年 12 月雪深分布图

(图中, 土黄色表示雪深为 0 ~ 0.1 cm , 黄色为 1.0 ~ 10.0 cm , 蓝色为  
10.0 ~ 30.0 cm , 红色为 30.0 ~ 70.0 cm , 绿色大于 70.0 cm )



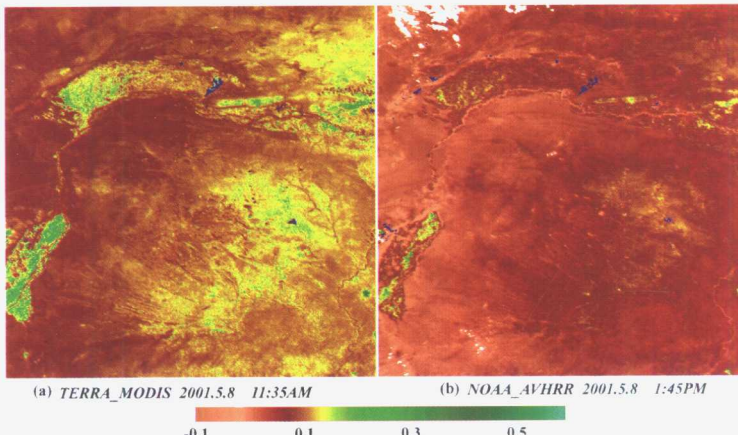


彩图 12 1999 年 12 月 25 日(a), 2000 年 1 月 15 日(b)和 2000 年 2 月 15 日(c) 渤海海域海冰图像

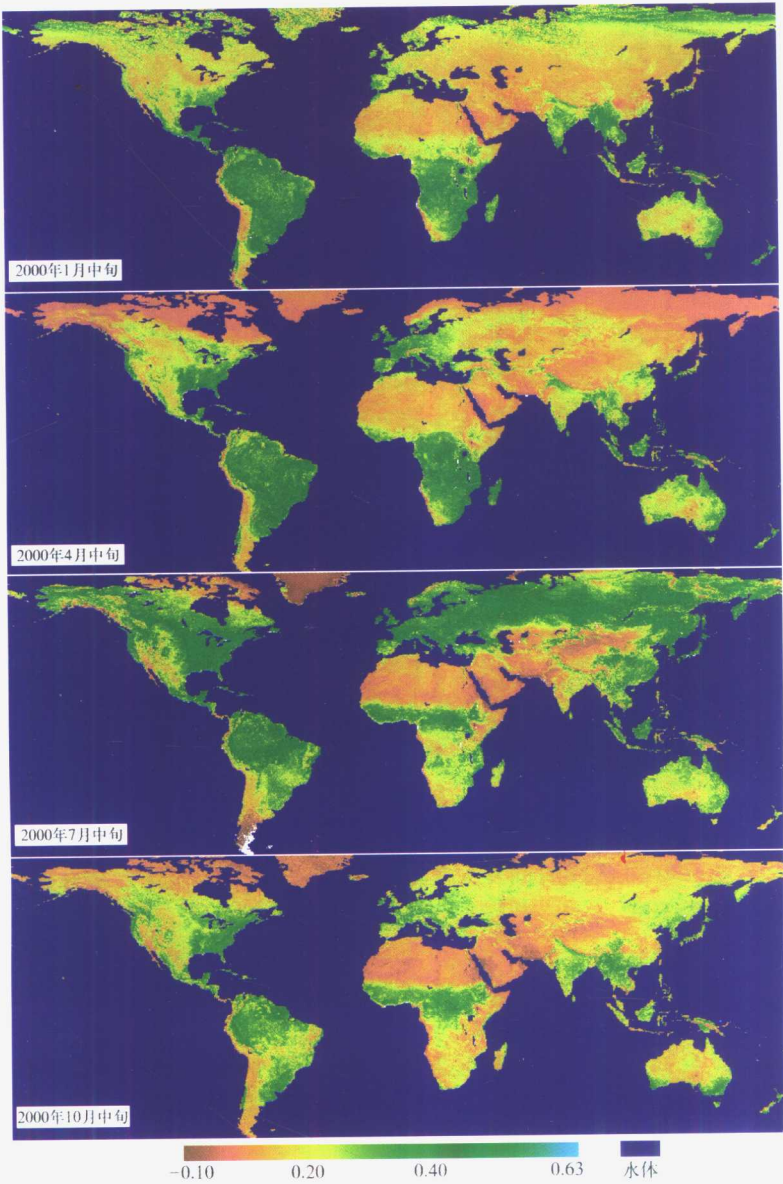


- 无雪区
- 非年周期性不稳定季节性积雪
- 年周期性不稳定季节性积雪
- 稳定季节性积雪
- 永久积雪区

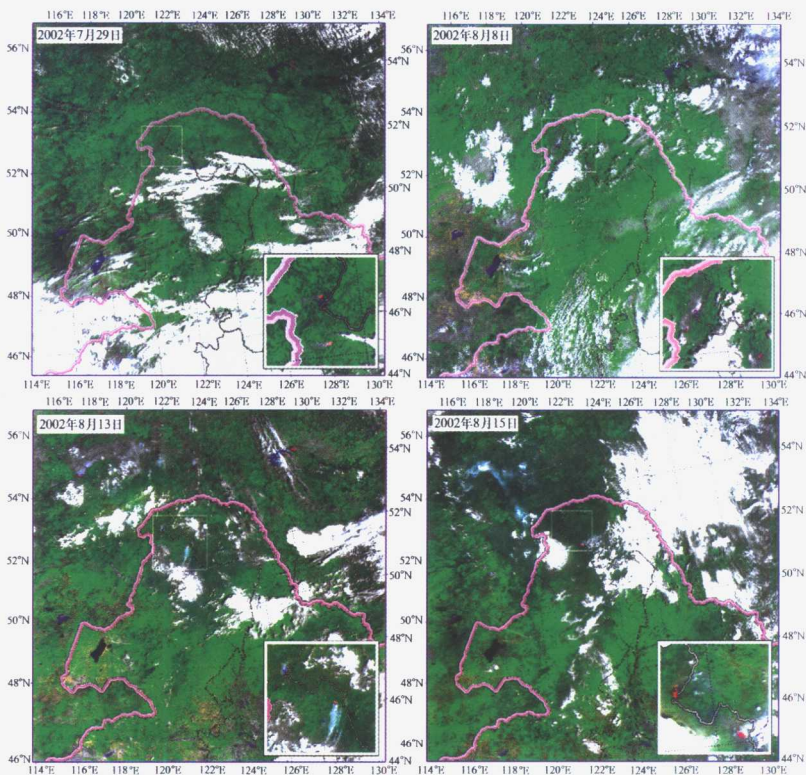
彩图 13 北半球积雪分布图



彩图 14 由对地观测卫星计算得到的我国河套地区 2001 年 5 月 8 日植被分布图。其中, 图(a)为 MODIS 数据计算得到; 图(b)为 AVHRR 数据计算得到

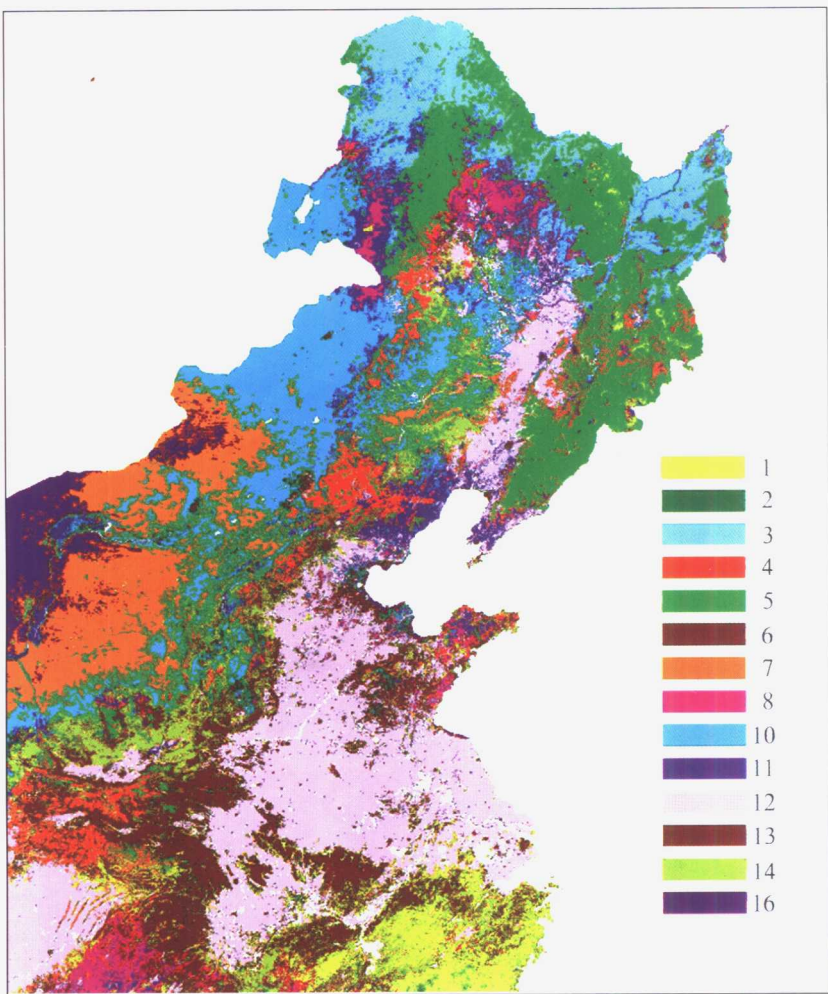


彩图15 NOAA-14 2000年1、4、7、10月中旬全球植被指数(NDVI)  
分布。图像范围为 $0\sim360^\circ$ ，北纬 $75^\circ$ 至南纬 $55^\circ$ 。  
(注：1月中旬图像的北半球高纬地区因太阳高度角太低形成许多噪音，故  
 $70^\circ$ 附近的绿带为噪音带)



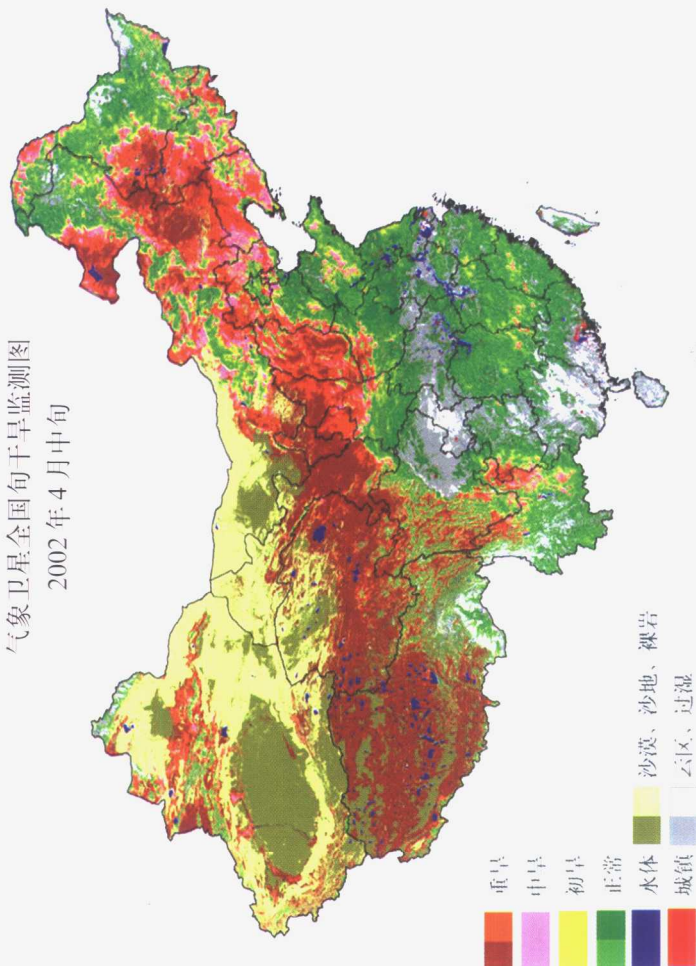
彩图 16 2002年7、8月间发生在内蒙古大兴安岭原始林区森林火灾部分图像

(图中红色为正在燃烧的火，绿色为植被，白色为云)



彩图 17 中国东北部地区地表覆盖分类。除水体外共有 16 类，该区域没有第 9 类和第 15 类

气象卫星全国旬干旱监测图  
2002年4月中旬



彩图18 利用NOAA/AVHRR资料计算得到2002年4月中旬我国干旱分布

## 目 录

<b>第一章 全球变化研究和对地观测卫星及其发展</b> .....	(1)
<b>全球变化研究对监测技术的依赖</b> .....	(2)
几十年至几百年的全球变化 .....	(2)
观测系统的重要性 .....	(5)
<b>对地观测卫星在全球观测系统中的作用和地位</b> .....	(7)
全球变化研究需要探测什么 .....	(7)
地基地球大气观测系统的现状 .....	(8)
对地观测卫星在全球变化研究中的作用 .....	(12)
<b>对地观测卫星的组成和演变</b> .....	(13)
气象卫星 .....	(14)
陆地卫星 .....	(25)
海洋卫星 .....	(28)
地球观测系统(EOS) .....	(29)
<b>第二章 对地观测卫星对大气圈的监测</b> .....	(33)
<b>探测大气参数的垂直分布</b> .....	(33)
卫星遥感大气温度湿度的原理 .....	(33)
卫星探测大气温度湿度的主要结果 .....	(36)
卫星云迹风 .....	(38)
<b>探测大气成分</b> .....	(40)
用对地观测卫星监测臭氧( $O_3$ ) .....	(40)
监测大气气溶胶 .....	(42)

<b>国际卫星云气候计划(ISCCP)</b>	(48)
ISCCP 的创立及研究机构	(48)
ISCCP 的科学目的	(49)
ISCCP 的数据处理	(49)
ISCCP 产品介绍	(51)
ISCCP 数据的应用	(51)
<b>全球降水分布</b>	(54)
应用卫星可见光和红外资料估计降水	(55)
应用卫星微波资料估计降水	(56)
<b>第三章 对地观测卫星对水圈的监测</b>	(59)
<b>监测海面温度</b>	(59)
计算原理	(60)
计算方法	(61)
海面温度应用	(66)
<b>内陆水体监测</b>	(69)
原理和方法	(71)
初步结果	(73)
<b>第四章 对地观测卫星对冰雪圈的监测</b>	(75)
<b>冰雪监测</b>	(76)
冰雪覆盖遥感原理	(77)
冰雪覆盖遥感方法	(79)
海冰监测	(86)
<b>卫星遥感积雪的分析应用</b>	(88)
北半球积雪分布特征	(88)
北半球积雪的年内变化	(89)
冬季积雪的年际变化分析	(91)
冬季雪灾监测	(94)
<b>冰雪的作用</b>	(96)
<b>第五章 对地观测卫星对生物圈的监测</b>	(97)